



IRANIAN SOCIETY of
CRYSTALLOGRAPHY
and MINERALOGY

Vol. 16, No. 2, summer 1387/2008

IRANIAN JOURNAL OF
CRYSTALLOGRAPHY
and MINERALOGY

Geological - mineralogical characteristics and trace-elements geochemistry in Aghadjari bauxite deposit, south of Shahindezh, NW of Iran

A. Abedini¹, A.A. Calagari^{1,2}, B. Hadjalilu³

1- Geology Department, Faculty of Natural Sciences, Tabriz University, Tabriz 51664.

2- Research Institute for Fundamental Sciences (RIFS), Tabriz University, Tabriz 51664

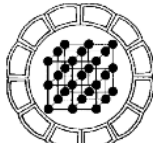
3- Geology Department, Payamnour University, Tabriz

E-mail: abedini2020@yahoo.com

(Received: 8/9/2007, in revised form: 5/5/2008)

Abstract: Aghadjari bauxite deposit is located in ~15km south of Shahindezh, West-Azrbaidjan province. This deposit was developed as stratiform lenses along the contact of Rutheh and Elika carbonate formations. Bauxitization processes led to the formation of boehmite, diasporite, kaolinite, pyrophyllite, illite, hematite, goethite, anatase, rutile, and quartz. Ferruginization and deferruginization mechanisms are two important factors controlling distribution of elements in this deposit. Mafic igneous rocks are the potential protolith. Obtained data show that elements such as Al, Ti, Fe, Zr, Hf, REE, and Nb moved down from the upper horizons to the lower parts of residual system by organic complexes during kaolinization processes. The carbonate bedrocks played dual roles in distribution of elements in this deposit. These rocks neutralized the acidic weathering solutions causing an increase in deposition of iron oxides and hydroxides which in turn due to their adsorption capacity caused considerable concentration of Cr, Co, and LREE in lower parts of the bauxite horizon. On the other hand, the carbonates by forming stable ionic complexes with HREEs caused these elements to drain out of the residual system.

Keywords: Bauxite, Immobile elements, Lateritization, Adsorption, Aghadjari, Shahindezh.



ویژگی‌های زمین‌شناسی-کانی‌شناسی و ژئوشیمی عناصر کمیاب در نهشته بوکسیت آغاجری، جنوب شاهین‌دز، شمال‌غرب ایران

علی عابدینی^۱، علی اصغر کلاگری^{۱،۲}، بهزاد حاج علیلو^۳

۱- گروه زمین‌شناسی، دانشکده علوم طبیعی، دانشگاه تبریز، کد پستی ۵۱۶۶۴

۲- موسسه تحقیقاتی علوم پایه، دانشگاه تبریز، تبریز، کد پستی ۵۱۶۶۴

۳- گروه زمین‌شناسی، دانشگاه پیام نور تبریز

E-mail: abedini2020@yahoo.com

(دریافت مقاله: ۱۳۸۶/۶/۱۷ ، نسخه نهایی: ۱۳۸۷/۲/۱۵)

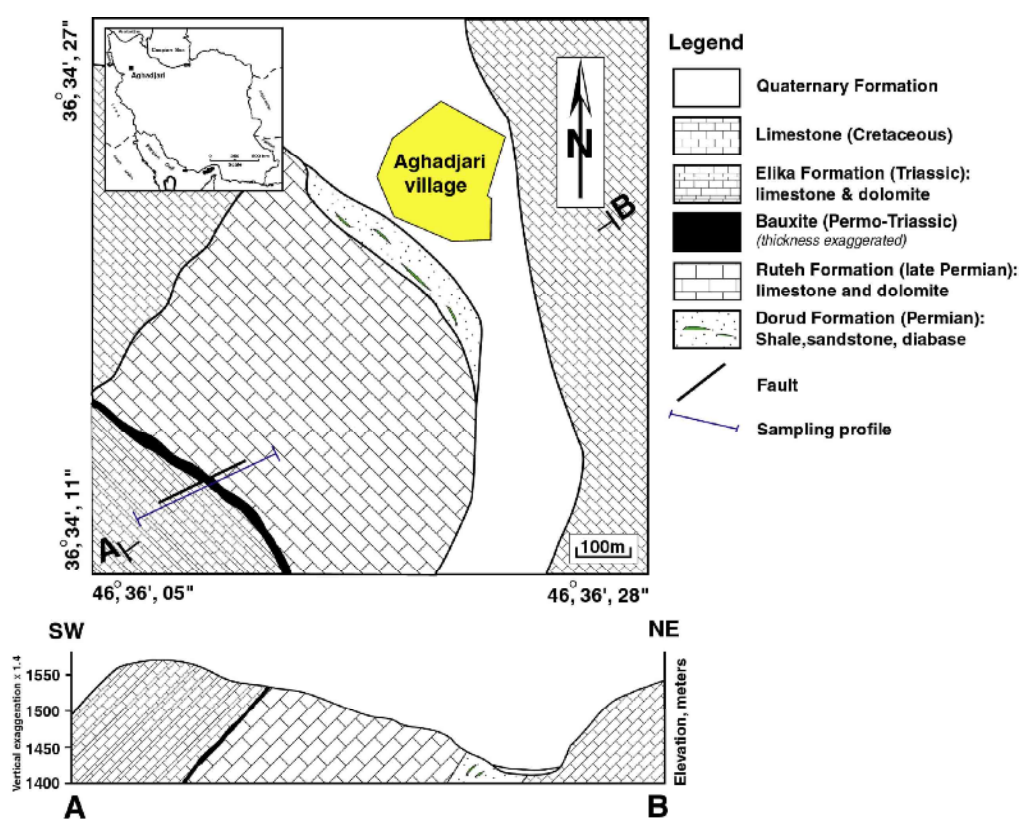
چکیده: نهشته بوکسیت آغاجری در ۱۵ کیلومتری جنوب شاهین‌دز، استان آذربایجان غربی واقع شده است. این نهشته به صورت عدسیهای چینه‌سان در مرز بین سازندهای کربناتی روته و الیکا گسترش یافته است. فرایندهای بوکسیتی شدن منجر به تشکیل کانیهای بوهمیت، دیاسپور، کانولینیت، پیروفیلیت، ایلیت، هماتیت، گوتیت، آناناز، روتیل، و کوارتز در این نهشته شده‌اند. ساز و کارهای آهن‌زایی و آهن‌زدایی، دو فاکتور مهم توزیع عناصر در این نهشته هستند. سنگهای آذرین مافیک پرتوولیت نهشته احتمالی می‌باشند. یافته‌های بازمانده نشان می‌دهند که عناصر Al، Ti، Fe، Hf، Zr، REE، و Nb از افقهای بالایی به بخش‌های پایینی سیستم بازمانده با کمپلکس‌های آلی طی فرایندهای کانولینیتی شدن منتقل شده‌اند. سنگهای بستر کربناتی نقش دوگانه‌ای در توزیع عناصر در این نهشته ایفا کرده‌اند. این سنگها با خنثی سازی آبگونهای هوازده اسیدی، موجب افزایش تهنشستی اکسیدها و هیدروکسیدهای آهن شده که به نوبه خود بواسطه جذب سطحی، باعث تمرکز قابل ملاحظه Cr، Co و LREE در بخش‌های پایینی افق بوکسیتی شده‌اند. از طرف دیگر کربناتها با تشکیل کمپلکس‌های یونی پایدار با HREE باعث زهکشی این عناصر از سیستم بازماندی شده‌اند.

واژه‌های کلیدی: بوکسیت، عناصر بی حرکت، لاتریتی شدن، جذب سطحی، آغاجری، شاهین‌دز.

شناختی نهشته بوکسیت یاد شده در طی سالهای ۱۳۷۶ و ۱۳۸۳، از دیدگاه ژنتیکی و کاربردهای صنعتی مورد بررسی قرار گرفته است [۳، ۴]. با توجه به پژوهش‌های انجام شده قبلی بر روی این نهشته و علیرغم بررسیهای جامع روی فرایندهای بوکسیتی شدن طی تشکیل نهشته‌های مشابه در ایران و جهان [۵-۷]، تاکنون بررسیهای جامعی در این خصوص روی این نهشته انجام نشده است. این کار پژوهشی، اطلاعات نسبتاً کاملی از خاستگاه، ساز و کارهای هوازدگی، تاثیر کمپلکس‌های آلی و کربناتی روی حرکت و توزیع دوباره عناصر اصلی و جزئی، و شرایط تشکیل نهشته را ارائه می‌دهد.

۱- مقدمه

منطقه آغاجری، در ۱۵ کیلومتری جنوب شهرستان شاهین‌دز، به مختصات "۰۵، ۰۵، ۳۶، ۴۶" تا "۲۸، ۲۸، ۳۶، ۴۶" طول شرقی و "۱۱، ۳۴، ۳۶" تا "۲۷، ۲۷، ۳۶" عرض شمالی، در جنوب استان آذربایجان غربی واقع شده است (شکل ۱). مرز بین سازندهای کربناتی روته و الیکا در این منطقه بواسطه حضور افقی از عدسی‌های بوکسیتی مشخص می‌شود. بررسیهای زمین‌شناسی ناحیه‌ای این منطقه در قالب تهیه نمونه‌های زمین‌شناسی ۱:۱۰۰۰۰۰ چهارگوش شاهین‌دز و ۱:۲۵۰۰۰ چهارگوش تکاب انجام شده است [۱، ۲]. ویژگیهای زمین



شکل ۱ نقشه زمین‌شناسی منطقه آغاجری و موقعیت نهشته بوکسیتی پرمو-تریاس در آن.

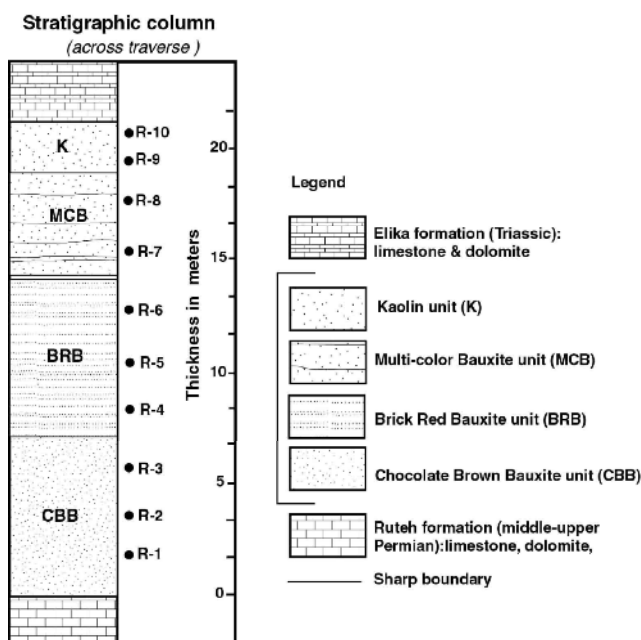
۲- روش مطالعه

کارهای صحرایی شامل تهیه نقشه زمین‌شناسی از نهشته بوکسیت به همراه سنگهای درونگیر (شکل ۱)، و نمونه برداری سیستماتیک در عرض ضخیم ترین بخش نهشته، در شهریور سال ۱۳۸۵ صورت گرفته است (شکل ۲). پس از بررسیهای زمین‌شناسی، ۶ نمونه از کانسنتراژهای نمونه‌برداری شده از عرض نیمروز انتخاب و برای تعیین نوع و مقادیر نیمه کمی کانیهای سازنده واحدهای سنگی به روش پراش پرتو X (XRD) در سازمان زمین‌شناسی و اکتشافات معدنی شمال‌غرب کشور آنالیز شدند (جدول ۱). برای بررسیهای زمین‌شیمیایی واحدهای سنگی نهشته، ۱۱ نمونه به روش فلورسانی پرتو X (XRF) برای تعیین مقادیر عناصر اصلی، فرعی و جزئی از سوی شرکت کانسازان بینالود (جدول ۲) و ۵ نمونه به روش فعال سازی نوترونی (NAA) (جدول ۳) برای تعیین مقادیر عناصر نادر خاکی در بخش مینیاتوری سازمان انرژی اتمی اصفهان آنالیز شدند.

۳- زمین‌شناسی
واحدهای سنگی منطقه آغاجری به ترتیب قدیم به جدید را سازندهای شیلی، دیابازی، ماسه سنگی درود، کربناتی روته، کربناتی الیکا، آهکی کرتاسه و ته نشستهای کواترنر تشکیل می‌دهند (شکل ۱). مهمترین ویژگی منطقه حضور افقی از عدسیهای بوکسیتی است که سنگ بستر آن را سنگهای کربناتی الیکا کربناتی روته و سنگ پوشش آن را سنگهای کربناتی الیکا تشکیل می‌دهند. این افق با روند NW-SE، دارای طولی در حدود ۵۰۰ متر و ضخامتی متغیر از ۵ تا ۲۵ متر است. با توجه به رنگ رخمنهای صحرایی، این افق به ۴ واحد سنگی قابل تفکیک بوده که به ترتیب از پایین به بالا شامل بوکسیتهای؛ (۱) قهوه‌ای شکلاتی، (۲) سرخ آجری، (۳) چند رنگ و (۴) کاکولن به رنگهای سفید، زرد و صورتی کم رنگ‌اند (شکل ۲). هر چند در برخی از نمونه‌های دستی مربوط به کانسنتراژهای بوکسیتی، آثار مرز تدریجی نهشته با سنگهای کربناتی سازنده الیکا مشاهده می‌شود، ولی در کل، افق بوکسیتی دارای یک مرز

مشاهده می‌شود (شکل ۳b). حضور مواد آلی مبین بالا بودن سطح آبهای زیرزمینی و تشکیل نهشته در یک محیط مردابی است [۸]. لیمونیتی شدن از ویژگیهای بارز بوکسیت‌های چند رنگ نهشته است. مهمترین سرشتی دو واحد پایینی، حضور ندولهای هماتیت در متن سنگ است که اندازه آنها از واحد سرخ آجری به واحد قهوه‌ای شکلاتی یک روند افزایشی را نشان می‌دهد.

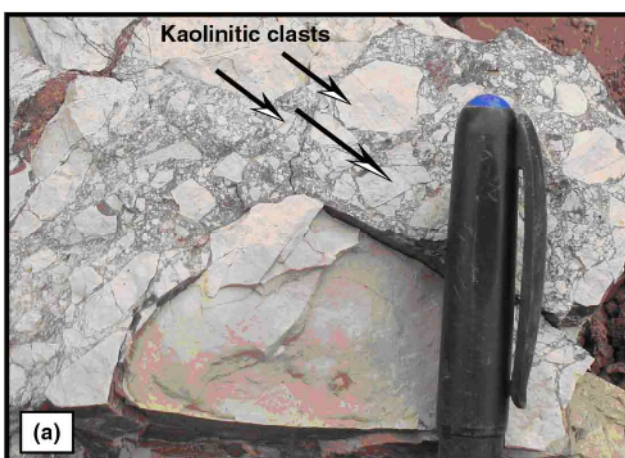
کاملاً مشخص و واضح با سنگهای درونگیر بستر و پوشش است. این مرز کاملاً مشخص دلیلی بر توقف نه نشستی پیش و پس از تشکیل بوکسیت مورد مطالعه است. عملکرد گسلها روی عدسی‌های افق بوکسیتی، جایه جایی‌هایی در حد چند متر در بخش‌های مختلف به وجود آورده و تشکیل بافت کاتاکلاستیک در واحد کائولن را باعث شده است (شکل ۳a). همچنین آثاری از چین‌خوردگی و مواد آلی (زغال سنگ) در واحد کائولن



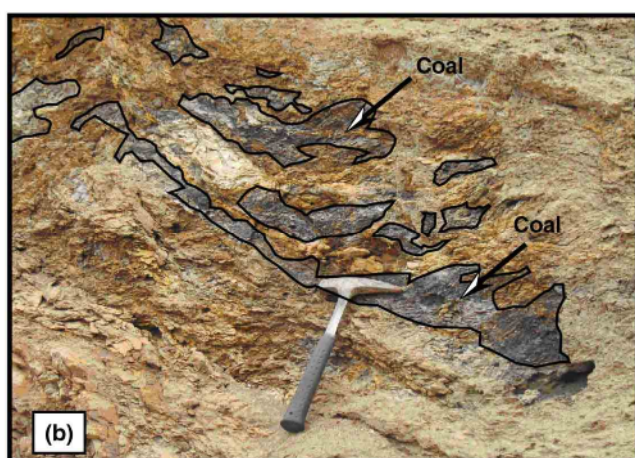
شکل ۲ ستون چینه شناسی در عرض پروفیل مورد مطالعه که در آن واحدهای بوکسیت آغازی و محل نمونه‌های آنالیز شده مشخص شده است.

جدول ۱ نوع و مقدار نیمه کمی کانیهای تشکیل دهنده واحدهای بوکسیت آغازی.

Unit Name	CBB		BRB		MCB	K
Sample No	R-1	R-3	R-5	R-6	R-7	R-10
Mineral						
Boehmite	۱۶	۱۹	۲۱	۲۵	۲۶	۹
Diaspore	۹	۱۳	۱۴	۱۳	۱۱	-
Kaolinite	۹	۹	۱۹	۱۸	۱۶	۴۸
Pyrophyllite	۵	۶	۱۱	۱۰	۱۳	۲۱
Anatase	-	۳	۴	-	۴	۴
Rutile	۳	۳	-	۴	۳	۶
Hematite	۳۹	۳۵	۲۱	۲۱	۲۰	۳
Goethite	۱۹	۱۲	۱۰	۹	۷	-
Illite	-	-	-	-	-	۴
Quartz	-	-	-	-	-	۵



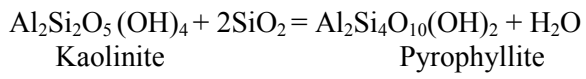
(a)



(b)

شکل ۳ تصاویر صحرایی از ویژگی‌های صحرایی نهشته بوکسیت آغازی (a) بافت کاتاکلاستیک در واحد کائولن و (b) چین خوردگی و آثاری از مواد ارگانیک زغال سنگی در واحد کائولن.

تبديل بخشی بوهمیت به دیاسپور در این نهشته دانست [۸]. در نتیجه کانی پیروفیلیت که عموماً در دماهای بالاتر از 300°C در شرایط دگرسانی و دگرگونی تشکیل می‌شود [۹] در این نهشته احتمالاً در فشار و دمای سطحی در اثر عملکردهای نیروهای زمین ساختی و دگرشکلیهای ساختاری از کائولینیت حاصل شده است. سیلیس لازم برای این تغییر و تبدل احتمالاً به وسیله آبها زیرزمینی تامین شده است [۱۰].



آناتاز در حضور غلظتهاهای پایین قلیاییها، یک فاز کانیایی پایدار در دماهای سطحی است [۸]. با توجه به عدم عملکرد فرایندهای دگرگونی روی این نهشته، روتیل احتمالاً در اثر تغییر رده بلورشناختی آناتاز در اثر نیروهای زمین ساختی و فرایندهای دیازنتیک حاصل شده است [۸]. نتایج نیمه کمی آنالیزهای XRD نشان می‌دهند که جدایی بسیار چشمگیری بین کانیهای رسی و آهن دار در طی تکامل و گسترش واحدهای نهشته صورت گرفته است (شکل ۴). این جدایی احتمالاً به واسطه انحلال آهن در شرایط نسبتاً احیا و ته نشینی کانیهای رسی از اسید سیلیسیک در آبگون رخ داده است [۸]. بالاخره استفاده از نمودار سه متغیره کانیهای آلومینیوم و تیتانیوم دار، رسی و آهن دار (شکل ۵) نشان می‌دهد که واحد کائولن از نظر درجه تکامل کانیایی به مرحله تشکیل رخساره رس بوکسیتی، واحدهای بوکسیت چند رنگ و سرخ آجری به مرحله تشکیل رخساره بوکسیت رسی و واحد بوکسیت قهوهای شکلاتی به مرحله تشکیل رخساره کانسنگ آهن بوکسیتی رسیده‌اند.

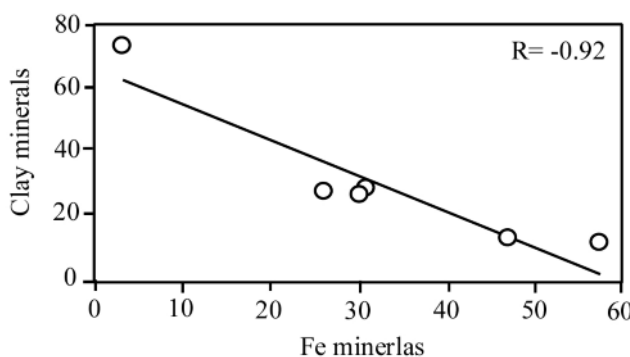
۴- کانی‌شناسی

با توجه به ریز بلور بودن کانیهای سازنده نهشته، از روش پراش پرتو X (XRD) برای شناسایی نوع و مقادیر نیمه کمی فازهای کانیایی استفاده شد. نتایج حاصل نشان می‌دهند کانیهای بوهمیت، دیاسپور، کائولینیت، پیروفیلیت، ایلیت، هماتیت، گوتیت، آناتاز، روتیل، و کوارتز، انبوهای کانیایی واحدهای این نهشته‌اند. با توجه به مقادیر نیمه کمی به دست آمده از آنالیزهای XRD (جدول ۱)، مهمترین ویژگی کانی‌شناسی نیمرخ بوکسیتی افزایش مقادیر کانیهای هماتیت و گوتیت در بخش تحتانی (واحد بوکسیت قهوهای شکلاتی) و کائولینیت در واحد کائولن است بین کانیهای یاد شده ایلیت و کوارتز فقط در واحد کائولن شناسایی شده‌اند.

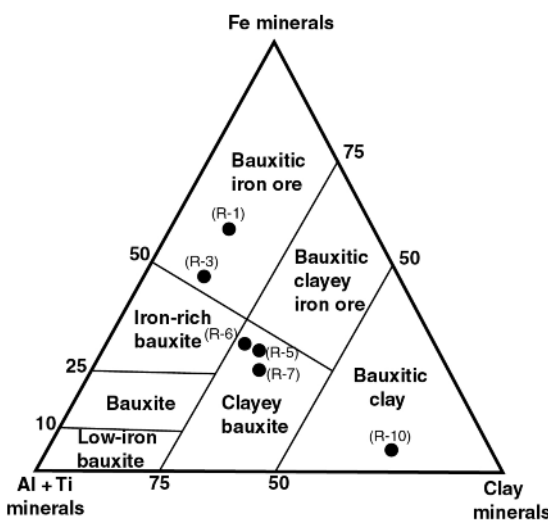
۵- بحث

۱- جنبه‌های ژنتیکی کانه سازی

با توجه به مرزهای کاملاً مشخص بین افق بوکسیتی با سنگهای درونگیر بستر و پوشش، گیبسیت احتمالاً اولین کانی آلومینای آزاد بوده است که طی تکوین این نهشته از دگرسانی کائولینیت به وجود آمده است [۸]. خود کائولینیتها نیز از دگرسانی فلدسپارهای سنگ مادر شکل گرفته‌اند. با در نظر گرفتن شواهد صحرایی مانند شکافدار شدن و گسل خوردگی واحدهای بوکسیتی، چین خوردگی در واحد کائولن، عدم کانه سازی کرونده در واحدهای بازماندی، و نبود علائم و شواهدی از دگرگونی گرمایی در افق بازماندی و سنگهای درونگیر آنها، می‌توان فشارهای ناشی از حرکت‌های زمین ساختی و فرایندهای دیازنتیک را عامل اصلی تبدیل گیبسیت به بوهمیت و نهایتاً



شکل ۴ تغییرات مقادیر نیمه کمی کانیهای آهن دار در برابر کانی‌های رسی در پروفیل مورد مطالعه.

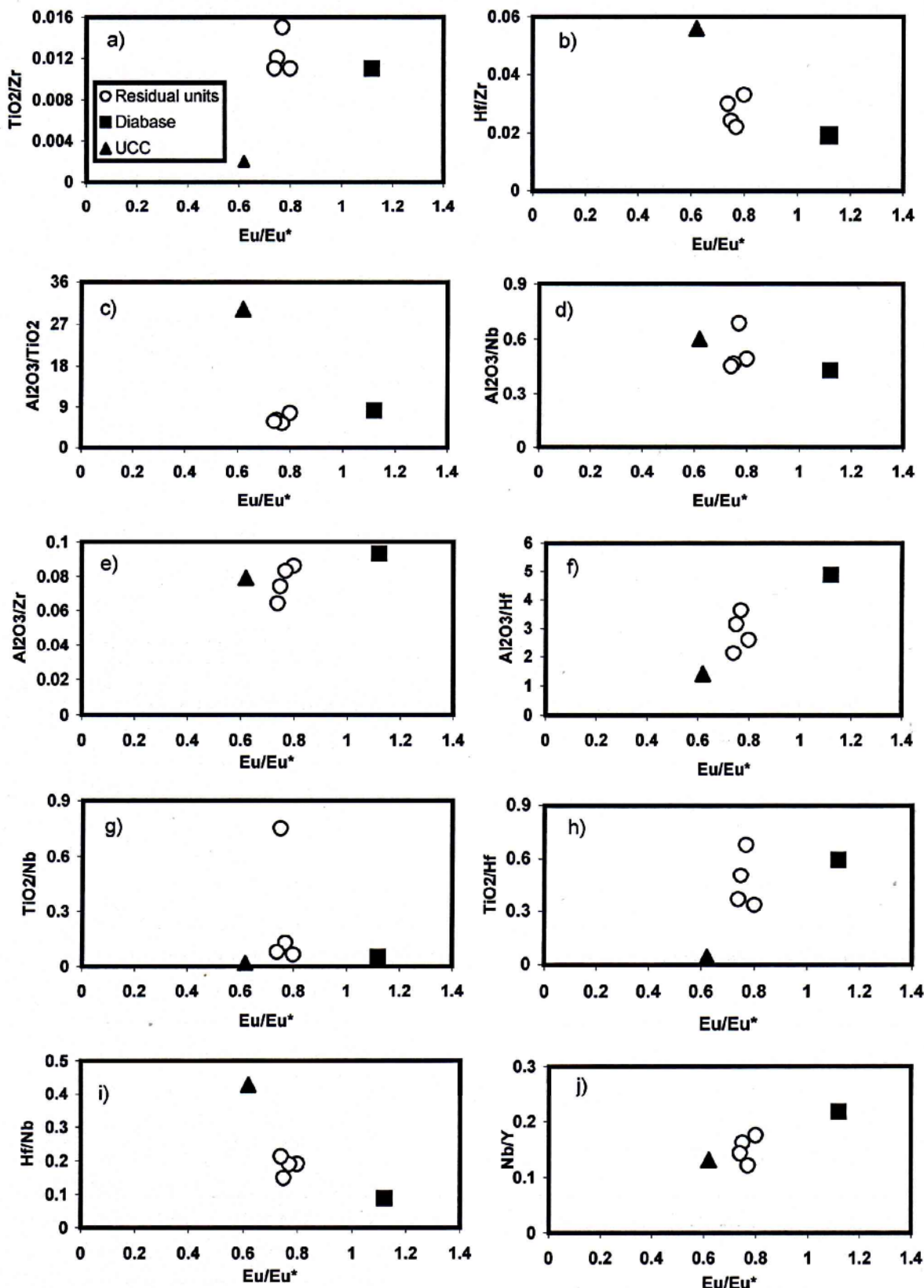


شکل ۵ موقعیت نمونه‌های بوکسیت آغازی در نمودار سه متغیره کانی‌های آلومینیوم و تیتانیوم‌دار- کانی‌های رسی- کانی‌های آهن دار [۸].

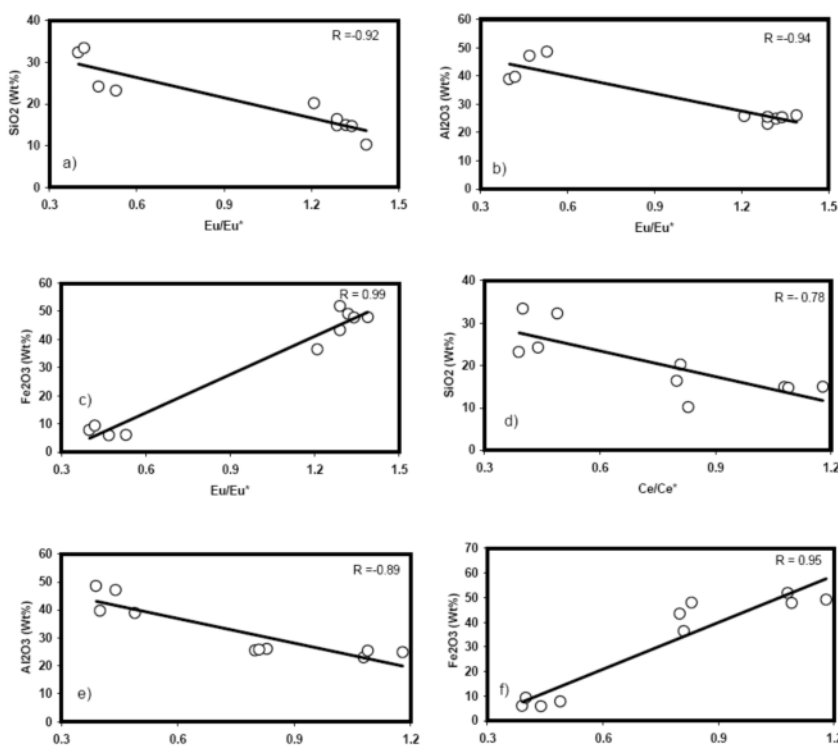
(شکل ۶a)، Hf/Zr ($\text{Al}_2\text{O}_3/\text{TiO}_2$) (شکل ۶b)، $\text{Nb}/\text{Al}_2\text{O}_3$ (شکل ۶c)، $\text{Zr}/\text{Al}_2\text{O}_3$ (شکل ۶d)، Hf/TiO_2 (Nb/TiO_2) (شکل ۶f)، $\text{Hf}/\text{Al}_2\text{O}_3$ (شکل ۶g)، Hf/Nb (شکل ۶h)، Nb/Zr (شکل ۶i)، و Nb/Zr (شکل ۶j) نسبت به نابهنجاری Eu ، واحدهای نهشته آغازی از نظر خاستگاه در گستره‌ای بین UCC و سنگ دیابازی منطقه قرار می‌گیرند. برای بررسی ارتباط احتمالی این نهشته با سنگهای دیابازی منطقه، از روش زمین‌شیمیایی عناصر بی تحرک [۱۴] استفاده شده است. بدین منظور عناصر بی تحرک Al , Hf , Ti , Zr , Nb نمونه‌های نهشته بوکسیت آغازی و سنگ دیابازی منطقه در نمودارهای دو متغیره با هم ترسیم شدند. ضربی همیستگی بین عناصر یاد شده بالای ۰/۸ بوده و خط هوازدگی ترسیم شده در همه نمودارها، سنگ دیابازی منطقه را قطع کرده است (شکل j-7a). با توجه به مطالب یاد شده سنگهای دیابازی منطقه به عنوان پروتولیت احتمالی این نهشته معرفی شدند.

۲-۵- پروتولیت نهشته

تعیین پروتولیت نهشته با توجه به تغییرات شدید عناصر اصلی و جزئی (شامل عناصر نادر خاکی) (جداول ۲ و ۳) طی فرایندهای هوازدگی مشکل به نظر می‌رسد. لذا از عناصری که در طی تشکیل نهشته کمترین تحرک را داشته‌اند، برای تعیین پروتولیت استفاده شده است. بررسیها نشان داده که طی فرایندهای هوازدگی شدید تغییرات نابهنجاری Eu بسیار ناچیز است [۱۱]. نتایج حاصله از محاسبات نابهنجاری Eu در واحدهای نهشته آغازی (جدول ۳) نیز نشان می‌دهد تغییرات نابهنجاری Eu در این نهشته ناچیز و در حدود ۰/۰۶ بوده است. همچنین بررسیهای انجام شده نشان داده‌اند عناصری مانند Al , Zr , Hf , Ti و Nb دارای بیشترین پتانسیل برای حفظ ویژگیهای پروتولیتها طی فرایندهای هوازدگی هستند [۱۲، ۱۳]. ترسیم نسبتهای عناصر یاد شده همراه با نابهنجاری Eu برای واحدهای بازماندی، سنگ دیابازی منطقه و متوسط ترکیب شیمیایی سنگهای بخش فوقانی پوسته قاره‌ای (UCC) نشان می‌دهند که در بررسی نسبتهای Zr/TiO_2



شکل ۶ تغییرات نسبت‌های (a) $\text{Ce}/(\text{La/Yb})_{\text{N}}$ (b)، (c) LREE/HREE و (d) ناهنجاری Ce در عرض پروفیل مورد مطالعه. حرف N نورمالیزه شدن عناصر مربوطه به ترکیب کندریت [۳۹] را نشان می‌دهد.



شکل ۷ نمودارهای تغییرات آنومالی Eu در برابر (a), SiO₂ (b), Al₂O₃ (c) و آنومالی Ce در برابر (d), SiO₂ (e) و Al₂O₃ (f) در طی فرایندهای بوکسیتی شدن در شمال شرق بوکان.

۴-۵- الگوهای توزیع REE بهنجار شده به کندریت و پروتوپلیت

الگوی توزیع REE برای واحدهای بازماندی و سنگ مادر بهنجار شده به ترکیب کندریت [۱۸] نشان می‌دهد که کلیه REE در واحدهای بازماندی و سنگ مادر نسبت به کندریت LREE غنی شده‌اند، با این تفاوت که میزان غنی شدگی HREE نسبت به HREE شدیدتر بوده است (شکل ۹a). چنین الگوهایی، آزاد شدن REE از کانیهای اولیه را طی هوازدگی شیمیایی و باقی ماندن آنها در مواد هوازده ب وجود آمده را نشان می‌دهد [۲۱-۱۹]. مهمترین ویژگی الگوی مورده مطالعه، غنی شدگی شدید LREE به ویژه Ce نزدیک برخوردهای با سنگ پستره و جاذبه LREE از HREE در نهشته با نزدیک شدن به سنگ پستره است. مقایسه توزیع REE‌ها در واحدهای بازماندی و سنگ مادر نیمه قلیایی نسبت به کندریت میان جدایی REE‌ها و بیویژه LREE‌ها طی فرایندهای هوازدگی است.

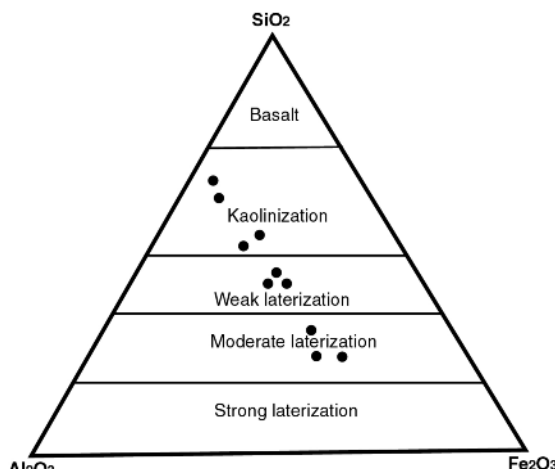
الگوی توزیع REE واحدهای بازماندی بهنجار شده به سنگ مادر دیابازی (شکل ۹b) نشان می‌دهد که فقط LREE‌های مربوط به دو واحد تحتانی نسبت به سنگ مادر دیابازی با غنی شدگی شدید همراه بوده اند. اغلب LREE‌ها

۵- چگونگی فرایندهای هوازدگی

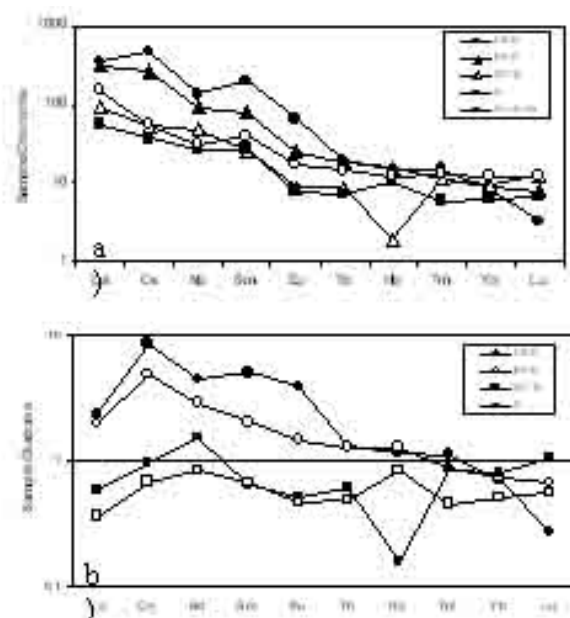
بر پایه نمودار سه متغیره SiO₂-Al₂O₃-Fe₂O₃ [۱۵] (شکل ۸) نهشتۀ بوکسیت آغازی طی فرایند هوازدگی از نظر تکامل زمین‌شیمیایی شرایط کائولینیتی شدن و لاتریتی شدن ضعیف و متوسط را تجربه کرده است. با توجه به چگونگی توزیع عناصر اصلی روی نمودار یاد شده، شرایط کائولینیتی شدن در تشکیل واحدهای کائولن و بوکسیت چند رنگ و فرایندهای لاتریتی شدن ضعیف و متوسط به ترتیب در شکل گیری واحدهای بوکسیت سرخ آجری و قهوه ای شکلاتی حکم‌فرما بوده است. بررسی تغییر نسبت La/Y در عرض نیمرخ مورد مطالعه نشان می‌دهد مقدار این نسبت از بخش‌های فوکانی از <۱> تا >۲۰ به بخش‌های تحتانی با یک آهنگ نامنظم به ویژه در واحد بوکسیت قهوه‌ای شکلاتی تغییر یافته است (شکل ۱۱). تغییرات این نسبت حاکم بودن شرایط اسیدی در شکل گیری بخش‌های فوکانی و تغییر شرایط اسیدی به شرایط قلیایی با نزدیک شدن به سنگ بستر کربناتی را نشان می‌دهد [۱۶]. آبگونهای اسیدی احتمالاً از مواد اسیدی و تخریب پیریت‌های سنگ مادر نشات گرفته‌اند [۱۷]. این محلولها احتمالاً به سمت پایین نیمرخ به وسیله سنگهای بستر کربناتی، خنثی شده‌اند.

نابهنجاری Ce در واحدهای بوکسیتی نشان می‌دهد که دو واحد پایینی این نهشته دارای نابهنجاری مثبت هستند (جدول ۳ و شکل ۹b). این نابهنجاری می‌تواند در ارتباط با ته نشستی ترجیحی Ce به صورت کانی سریانیت (Cerianite) در محیط‌های اکسایش باشد [۲۴]. محاسبه نابهنجاری Eu در واحدهای بوکسیتی نشان می‌دهد که مقدار این نابهنجاری در هر ۴ واحد مورد مطالعه کمتر از ۱ بوده و از ۰.۷۴ تا ۰.۸۰ تغییر می‌کند (جدول ۳). نابهنجاریهای منفی می‌توانند از تخریب کانیهای فلدسپار سنگ مادر طی فرآیندهای هوازدگی حاصل شده باشد [۲۵].

مربوط به دو واحد بالایی وREE‌های هر چهار واحد بازماندی نسبت به سنگ مادر دیبازی تهی شدگی نشان می‌دهند. با توجه به نحوه توزیع عناصر اصلی (Fe و Si, Al) (شکل ۸) عامل اصلی این تغییرات احتمالاً تغییر شرایط ژئوشیمیابی از کائولینیتی شدن به لاتریتی شدن طی تکوین این نهشته است. اختلاف در تحرک REE‌ها طی هوازدگی ممکن است سبب جدایی آنها در نیمرخهای هوازده شده باشد. در کل تحرک پایین LREE‌ها در مقایسه با HREE‌ها، ممکن است باعث ایجاد الگوهای مهم تهی شدگی HREE شده و اختلاف تحرک Ce و REE‌های دیگر منجر به ایجاد نابهنجاری‌های در شکل گیری بازماندی شده، هوازده باشد [۲۳، ۲۲]. محاسبه



شکل ۸ موقعیت نمونه‌های نهشته بوکسیت آگاجری در نمودار سه متغیره $\text{SiO}_2\text{-Al}_2\text{O}_3\text{-Fe}_2\text{O}_3$ [۱۵] برای تعیین نوع فرایندهای هوازدگی.



شکل ۹ الگوی توزیع REE در واحدهای نهشته آگاجری و پروتولیت بهنجار شده نسبت به (a) کندریت و (b) الگوی توزیع REE در واحدهای نهشته آگاجری بهنجار شده نسبت به پروتولیت.

در این بررسیها از Th به عنوان بی تحرک‌ترین عنصر نهشته استفاده شد. نتایج به دست آمده از محاسبات تغییرات نسبتی‌های عنصری نشان می‌دهند که Ti, Fe, Zr, Hf, Nb و طی فرایندهای هوازدگی شدید از واحدهای کائولن و بوکسیت چند رنگ نشسته شده و دوباره در واحدهای بوکسیتی قهوه ای شکلاتی و سرخ آجری ته نشین شده‌اند (شکل ۱۰). تحرک این عناصر در واحدهای بالایی ممکن است به واسطه حاکم بودن شرایط اسیدی نسبتاً شدید، و نیز حضور مواد آلی فراوان باشد، به طوریکه به وسیله آبگونهای اسیدی کانیهای دربرگیرنده این عناصر، تخریب شده و مواد آلی با تشکیل کلوئیدهای آلی موجب انتقال این عناصر به بخش‌های پایینی نهشته شده‌اند [۳۴-۳۶]. آنچه که مسلم است کاهش پتانسیل به واسطه افزایش pH محلولهای فرورو به وسیله سنگهای بستر کربناتی عامل ته نشینی این عناصر در واحدهای پایینی بوده است.

۲-۵-۵- رفتار عناصر Al, Co, Ce, U, Cr در تکوین نیمرخ بوکسیتی

بررسی تغییر در صد Al/Th, Co/Th, Cr/Th نشان می‌دهد که عناصر Al, Co و Cr از بخش‌های فوقانی نهشته شده و در بخش‌های تحتانی دوباره ته نشین شده‌اند (شکل ۱۱). توزیع Al در این نهشته نمی‌تواند در ارتباط با تغییرات شرایط کاهش پتانسیل باشد به این دلیل که Al خورنده متغیری ندارد. Al اساساً در نیمرخهای هوازدگی نامحلول بوده و به سختی به وسیله آبگونها انتقال می‌یابد [۲۹]. کلوئیدهای آلی نشات گرفته از تخریب مواد آلی در بخش‌های بالای نهشته احتمالاً عامل اصلی تحرک Al بوده‌اند (شکل ۱۰) [۳۴-۳۷]. شستشوی Cr نیز از بخش‌های فوقانی نیمرخ ممکن است در ارتباط با مواد آلی باشد. زیرا کلوئیدهای آلی می‌توانند همانند Al، موجب تحرک Cr شوند (شکل ۱۱) [۳۴]. شستشوی Ce در این نهشته به واسطه حضور Ce به فرم Ce^{3+} در آبگونهای اسیدی هوازدگی کننده در بخش‌های فوقانی و ته نشینی آن در واحدهای پایینی به شکل Ce^{4+} غیرقابل حل (CeO_2) به واسطه افزایش pH آبگونها بوده است (شکل ۱۲ و ۱۳b) [۲۴، ۳۸]. رفتار Co نیز به مانند Cr با تغییر شرایط کاهش پتانسیل کنترل شده است (شکل ۱۱). با توجه به شباهت الگوی توزیع Fe با Co و Cr (شکل ۱۰ و ۱۱) در نیمرخ هوازدگی، توزیع Co و Cr می‌تواند در ارتباط با توزیع کانیهای همایت و گوتیت باشد. جذب سطحی به وسیله کانیهای رسی دلیلی بر افزایش ته نشینی U در

۵-۵- تحرک و توزیع دوباره عناصر طی فرایندهای هوازدگی شاخصهای زیادی مانند شاخص شیمیایی دگرسانی (Chemical Index Alteration, CIA) (Chemical Index Weathering, CIW) و شاخص شیمیایی (Weathering Index, WI) (برای ارزیابی فرایندهای هوازدگی شیمیایی سنگهای هوازدگی پیشنهاد شده اند [۲۶-۲۸]. این شاخصها بر پایه غلظت عناصری مانند Ca, K, Na و شیمیایی دگرسانی شده و کارایی بالای برای بررسیهای هوازدگی شیمیایی ضعیف تا متوسط دارند ولی برای بررسیهای هوازدگی شیمیایی شدید مناسب نیستند [۳۰، ۲۹]. آنالیزهای شیمیایی CaO از منطقه مورد مطالعه (جدول ۲) نشان می‌دهند مقادیر K_2O , MgO , Na_2O و TiO_2 , Fe_2O_3 , Al_2O_3 در نمونه‌های بوکسیتی خیلی کمتر از مقادیر مشابه در سنگ مادرنند. مقادیر CIA محاسبه شده با $[CIA = \frac{CaO}{Al_2O_3} + \frac{Na_2O}{Al_2O_3} + \frac{K_2O}{Al_2O_3}]$ برای نمونه‌های بوکسیتی و کائولنی نهشته مورد مطالعه بیشتر از ۹۵٪ بوده (جدول ۲) و بیشینه تمرکزهای Al_2O_3 در این نمونه‌ها خیلی بالا بوده (50% ، 47.95% و 40.7%) که به ترتیب بیانگر شدت بالای فرایندهای هوازدگی شیمیایی طی تشکیل این نهشته است.

محاسبات تغییرات جرم یکی از بهترین روش‌ها برای بررسی تحرک عناصر طی فرایندهای هوازدگی شدید است [۳۱]. با فرض اینکه تغییر حجمی بین تولیدات هوازدگی و سنگ مادر طی فرایندهای هوازدگی شدید صورت نگرفته باشد [۳۲]، تحرک یک عنصر می‌تواند به صورت در صد تغییرات نسبتی‌های عنصری به عنصر حفظ شده (Conservative) نسبت به سنگ مادر به شکل فرمول زیر محاسبه شود [۲۷].

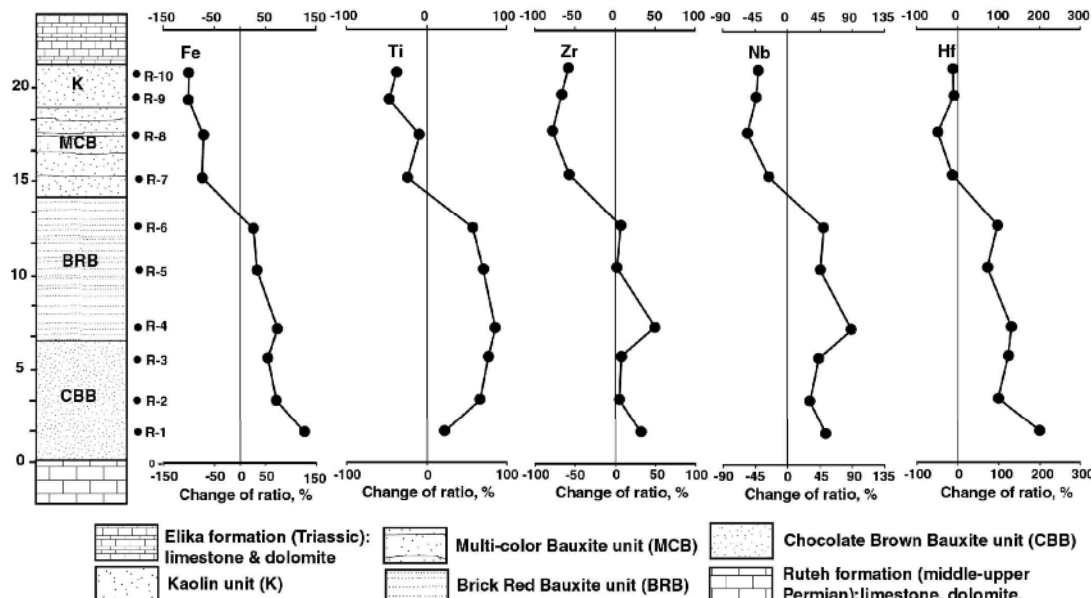
$$\%Change\ of\ ratios = 100 \times [(Ri-Rp)/Rp]$$

در فرمول بالا Ri و Rp به ترتیب نسبت عنصر به عنصر حفظ شده در نمونه‌های هوازدگی و سنگ مادرنند. عنصر حفظ شده‌ای که برای محاسبه تحرک عناصر انتخاب می‌شود ممکن است در نیمرخهای مختلف متغیر باشد. بررسیهای انجام شده نشان داده است که Th نسبت به Zr و Ti در طی هوازدگی لاتریتی کمترین تحرک را داراست [۲۴، ۳۳]. بررسیهای دیگر نشان می‌دهند ترتیب شستشوی عناصر از سنگهای مافیک ثابت نبوده و به وسیله محل (site) عناصر موجود در شبکه کانیها در سنگ مافیک، کنترل می‌شوند [۲۹].

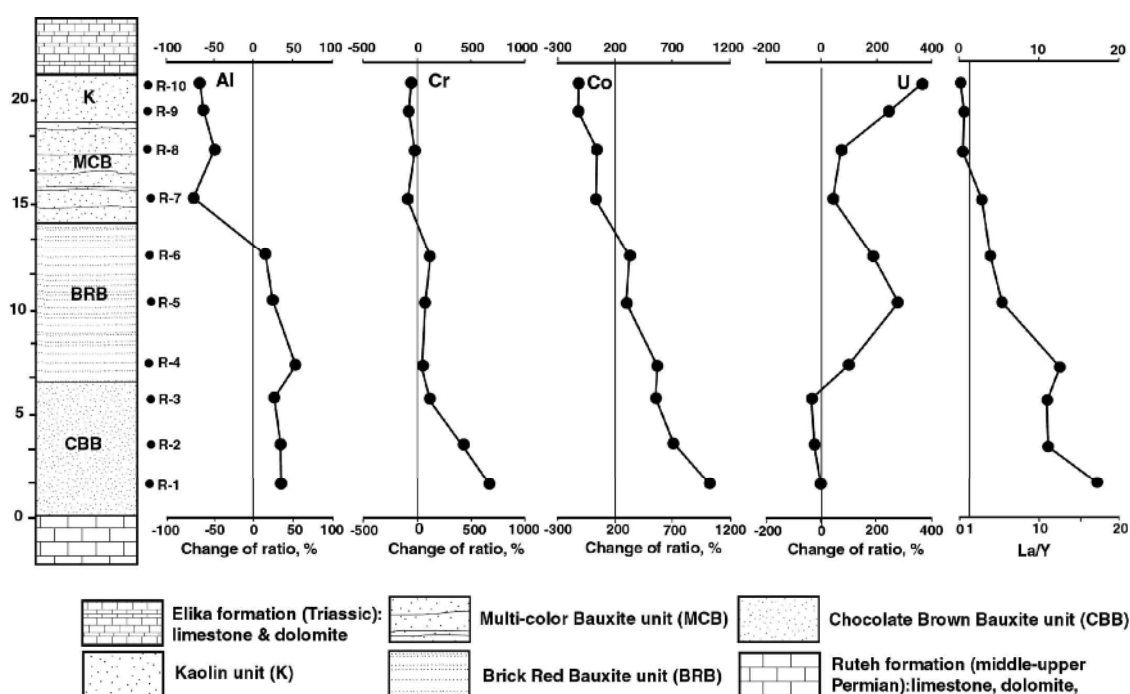
۵-۵-۱- عناصر محفوظ مانده (Conservative)

و باعث ته نشینی U در سیستم بازماندی شوند [۳۹]. احتمالاً جذب سطحی به وسیله کانی سریانیت عامل غنی شدگی U در واحد بوکسیت سرخ آجری بوده است (شکل ۱۱).

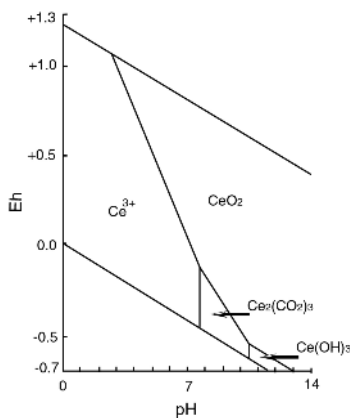
واحدهای کائولن و بوکسیت چند رنگ است. در برخی از پرسیها پیشنهاد شده است از آنجا که فازهای اکسیدان U^{۴+} چندان رفتار آبگونی ندارند، CeO_2 ممکن است به عنوان منطقه‌های هسته گذاری (nucleating) عمل کرده



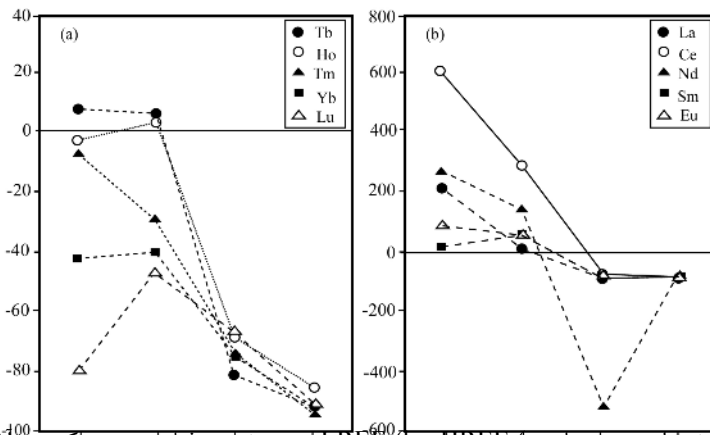
شکل ۱۰ نمودارهای در صد تغییرات نسبت عناصر Fe, Ti, Zr, Nb, Hf در عرض پروفیل نهشته بوکسیت آغاری نسبت به پروتولیت.



شکل ۱۱ نمودارهای در صد تغییرات نسبت عناصر Al, Cr, Co, U و La/Y به همراه تغییرات نسبت Y/La در عرض پروفیل نهشته بوکسیت آغاری.



شکل ۱۲ دیاگرام Eh-pH برای Ce در ۲۵ درجه سانتیگراد و فشار ۱ بار [۳۸].

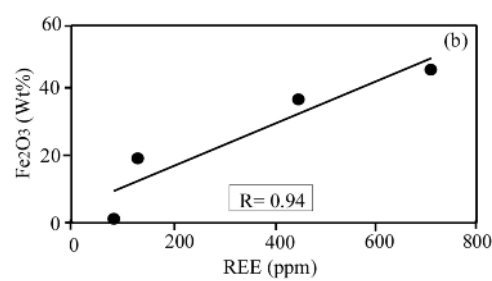


شکل ۱۳ نمودارهای درصد تغییرات نسبت‌های REE/LREE و REE/HREE (a) و (b) در عرض هروفیلتر پوشته بوكسیت آجری نسبت به پروتولیت.

بخشهای پایینی نیمرخ کاهش یافته و در نتیجه REE‌ها در واحد پایینی ته نشین کرده‌اند. چندین دسته کانی به عنوان میزبانان اصلی REE‌ها در تولیدهای هوازده پیشنهاد شده‌اند. کانیهای رسی به عنوان میزبان مهم LREE‌ها و HREE‌ها [۴۱، ۴۲]، کانیهای ثانویه Ce فسفات‌دار مانند آپاتیت، تمرکز دهنده مهم REE‌ها جز Ce [۴۰، ۴۳، ۴۴]، اکسیدها و هیدروکسیدهای منگنز [۴۵-۴۷] از آن جمله هستند. مقایسه ترکیب شیمیایی نمونه‌های هوازده و سنگ مادر نهشته (جدول ۲) نشان می‌دهند که کانیهای ثانویه فسفات‌دار، و اکسیدها و هیدروکسیدهای منگنز به دلیل تمرکز بسیار پایین در نمونه‌های هوازده نسبت‌به سنگ مادر و به عبارت بهتر شستشو طی فرایندهای هوازدگی، نمی‌توانند تمرکز دهنده REE‌ها در نیمرخ هوازده باشند. همبستگی منفی زیاد بین Al و REE‌ها (شکل ۱۴a) نشان می‌دهد که کانیهای رسی نمی‌توانند میزبان مهمی برای REE‌ها در این نیمرخ باشند. همبستگی بسیار بالا بین Fe و REE‌ها (شکل ۱۴b) نشان می‌دهد که عناصر یاد شده بیشتر به وسیله اکسیدها و

۳-۵-۵- رفتار عناصر نادر خاکی

بررسی تغییرات نسبت Th/REE نشان می‌دهد که REE‌ها در کل از تمامی سیستم هوازده شسته و خارج شده‌اند و فقط Tb در دو واحد تحتانی و Ho در واحد بوكسیت سرخ آجری افزایش جرم اندک نشان می‌دهد (شکل ۱۳a). برای REE‌ها در کل الگوی مشاهده شده نشان از شستشوی آنها از واحدهای کائولن و بوكسیت چند رنگ و ته نشینی آنها در واحدهای قهقهه‌ای شکلاتی و سرخ آجری دارد (شکل ۱۳b). شرایط اسیدی همراه با مواد آلی احتمالاً عامل شستشوی REE‌ها و REE‌ها از واحدهای بالایی بوده‌اند. شستشوی REE‌ها از بخش‌های بالای نهشته به مانند Al می‌تواند در ارتباط با اختلاط آنها با کلوئیدهای آلی باشد [۳۴، ۳۵]. با توجه به سنگ بستر کربناتی این نهشته، REE‌ها در دو واحد پایینی به دلیل تشکیل اختلاط‌های یونی پایدار کربناتی بواسطه افزایش pH محلولهای فرورو توансه‌اند از سیستم REE‌ها از سیستم شوند [۴۰]. به عبارت بهتر ظرفیت حمل REE‌ها از سیستم هوازده در اثر تخریب مواد آلی و شکسته شدن اختلاط‌های آلی، افزایش pH آبگونهای هوازنده به وسیله سنگ بستر به سمت



هیدروکسیدهای آهن در سیستم بازماندی تمرکز حاصل کرده-اند.

شکل ۱۴ تغییرات (a) REE در مقابل Al_2O_3 و (b) Fe_2O_3 در نهشته بوکسیت آغاری.

این مقاله برگرفته از نتایج طرح پژوهشی رساله دکتری نویسنده اول است که از سوی معاونت پژوهشی و تحصیلات تکمیلی دانشگاه تبریز حمایت مالی شده است. لذا نویسنده‌گان بدینوسیله نهایت سپاس و قدردانی خود را از معاونت‌های مذکور ابراز می‌دارند. نویسنده‌گان همچنین از نظرها و پیشنهادهای ارزنده و سازنده داوران محترم مجله سپاسگزارند.

۸- مراجع

- [۱] خلقی خرسقی م.ح، اقلیمی ب، امینی آذر ر، علوی نائینی م، "نقشه زمین شناسی تکاب-شاهین‌دژ به مقیاس ۱:۱۰۰۰۰۰، انتشارات سازمان زمین شناسی و اکتشافات معدنی کشور، (۱۳۷۳).
- [۲] Alavi-Naini M., Hajian J., Amidi A., Bolurrechi H., "Geology of Tekab-Saein Qale: Explanatory note of 1:250000 map of Takab guardrangle", Geological Survey of Iran, Report No 50 (1982).
- [۳] محمدیان ج، "بررسی زمین شناسی اقتصادی بوکسیت‌های شرق شاهین‌دژ، رساله کارشناسی ارشد زمین شناسی اقتصادی دانشگاه آزاد واحد تهران شمال (۱۳۷۶) ۱۵۶ ص.
- [۴] خواجه محمدلو ن، "کانی‌شناسی، ژئوشیمی و ژئز نهشته‌های بوکسیتی جنوب استان آذربایجان غربی و تعیین کاربری آنها"، رساله کارشناسی ارشد زمین شناسی اقتصادی دانشگاه شهید بهشتی، (۱۳۸۳) ۱۳۸ ص.
- [۵] Vires J., Wasserburg G.J., "Behavior of Sm and Nd in a lateritic soil profile", Geochim et Cosmochim Acta 68 (2004) 2043-2054.
- [۶] Laskou M., Economou-Eliopoulos M., "The role of microorganisms on the mineralogical and

۶- برداشت

نهشته بوکسیت آغاری در جنوب شاهین‌دژ به شکل عدسی-های چینه‌سان در یک محیط مردابی، در مرز بین سازنده‌های کربناتی روته والیکا گسترش و تکامل یافته است. عملکرد فرایندهای کائولینیتی و لاتریتی شدن ضعیف تا متوسط طی تکوین این سیستم هوازده با تشکیل کانیهای بوهمیت، دیاپیور، کائولینیت، هماتیت، گوتیت، پیروفیلیت، ایلیت، آناتاز، روتیل، و کوارتز همراه بوده است. پارازیت‌های کانیایی یاد شده همراه با حضور بافت کاتاکلاستیک نشان می‌دهند که نهشته مورد بررسی، احتمالاً محتمل دگرشکلی‌های شدیدی شده است. نتایج حاصل از محاسبات شاخص شیمیایی هوازدگی (CIA) نشان از خروج شدید عناصر قلیایی و قلیایی خاکی طی فرایندهای بوکسیتی شدن دارند. بررسیهای انجام شده نشان می‌دهند که دو ساز و کار آهن‌زدایی و آهن‌زایی مهمترین عوامل جدایی LREE‌ها از HREE‌ها در این نهشته بوده‌اند. با توجه به تغییرات جرم عناصر، Al و به پیروی از آن صورت بازماند طی فرایندهای بوکسیتی شدن در بالای سازند کربناتی روته، تجمع یافته‌اند. تلفیق نتایج حاصل از بررسیهای کانی‌شناسی و بررسیهای ژئوشیمیایی نشان می‌دهند که توزیع آهن به شکل کانیهای هماتیت و گوتیت در سیستم هوازده، نقش بسیار مهمی در توزیع عناصر Co، Cr، Ti، Zr، Fe، Hf، Nb، و علیرغم نوسان در سیستم هوازده، با داشته و سنگهای دیابازی منطقه پروتولیت نهشته هستند. با توجه به نتایج به دست آمده حضور مواد آلی در بخش‌های فوقانی نهشته همراه با سنگ بستر کربناتی، نقش بسیار ارزنده-ای در تحرک و ته نشینی دوباره عناصر اصلی و جزئی در عرض نهشته داشته‌اند.

۷- تشرک و قدردانی

- [17] Mucke A., Badejoko T.A., Akande S.O., "Petrographic-microchemical studies and origin of the Agbaja Phanerozoic Ironstone formation, Nupe Basin, Nigeria: a product of ferruginized ooidal Kaolin precursor not identical to the Minette-type", Mineralium Deposita 34 (1999) 284-296.
- [18] Taylor S.R., McLennan S.M., "The continental crust: its composition and evolution", Blackwell, Oxford, (1985) 1-312.
- [19] Price R.G., Gray C.M., Wilson R.E., Frey F.A., Taylor S.R., "The effects of weathering on rare earth element, Y and Ba abundances in Tertiary basalts from southern Australia", Chemical Geology 93 (1991) 245-265.
- [20] Boulange B., Colin F., "Rare earth element mobility during conversion of nepheline syenite into lateritic bauxite at Passa Quatro, Minas-Gerais, Brazil", Applied Geochemistry 9 (1994) 701-711.
- [21] Middleburg J.J., Van Der Weijden C.H., Woittiez J.R.W., "Chemical processes affecting the mobilities of major, minor and trace elements during the weathering of granitic rocks", Chemical Geology 68 (1988) 253-273.
- [22] Patino L.C., Velbel M.A., Price J.R., Wade J.A., "Trace element mobility during spheroidal weathering of basalts and andesites in Hawaii and Guatemala", Chemical Geology 202 (2003) 343-364.
- [23] Aubert D., Stille P., Probst A., "REE fractionation during granite weathering and removal by waters and suspended loads: Sr and Nd isotopic evidence", Geochimica et Cosmochimica Acta 65 (2001) 387-406.
- [24] Braun J.J., Pagel M., Muller J.P., Bilong P., Michard A., Guillet B., "Ce anomalies in lateritic profiles", Geochimica et Cosmochimica Acta 54 (1990) 781-795.
- [25] White A.F., Bullen T.D., Schultz M.S., Blum A.E., Huntington T.G., Peters N.E., "Differential rates of feldspar weathering in granitic regoliths", Geochimica et Cosmochimica Acta 65 (2001) 847-869.
- [26] Parker A., "An index of weathering for silicate rocks", Geological Magazine 107 (1970) 501-504.
- [27] Nesbitt H.W., "Mobility and fractionation of rare earth elements during weathering of a granodiorite", Nature 279 (1979) 206-210.
- geochemical characteristics of the Parnassos-Ghiona bauxite deposits, Greece", Journal of Geochemical Exploration 93 (2007) 67-77.
- [7] Calagari A.A., Abedini A., "Geochemical investigations on Permo-Triassic bauxite deposit at Kanisheeteh, east of Bukan, Iran", Journal of Geochemical Exploration 94 (2007) 1-18.
- [8] Bardossy G., "Karst Bauxites", Elsevier Scientific, Amsterdam, (1982) 1-441.
- [9] Boulange B., Bouzat G., Pouliquen M., "Mineralogical and geochemical characteristics of two bauxitic profiles, Fria, Guinea republic", Mineralium Deposita 31 (1996) 432-438.
- [10] Balkay B., Bardossy G.Y., "Lateritesedesi rezfolyam ant vizsgalatok guineai lateritekben (Study of partial processes of laterization on Guinean laterites)", Foldt. Kozl. Budapest 97 (1967) 91-100.
- [11] Mongelli G., "Ce-anomalies in the textural components of Upper Cretaceous karst bauxites from the Apulian carbonate platform (southern Italy)", Chemical Geology 140 (1997) 69-79.
- [12] MacLean W.H., Bonavia F.F., Sanna G., "Argillite debris converted to bauxite during karst weathering: evidence from immobile element geochemistry at the Olmedo deposit, Sardinia", Mineralium Deposita 32 (1997) 607-616.
- [13] Mameli P., Mongelli G., Oggiano G., Dinelli E., "Geological, geochemical and mineralogical features of some bauxite deposits from Nurra (western Sardinia, Italy): insights on conditions of formation and parental affinity", International Journal of Earth Sciences 96 (2007) 887-902.
- [14] Valeton I., Biermann M., Reche R., Rosenberg F., "Genesis of nickel laterites and bauxites in Greece during the Jurassic and Cretaceous, and their relation to ultrabasic parent rocks", Ore Geology Review 2 (1987) 359-404.
- [15] Schellmann W., "A new definition of laterite. In: Banerji, P.K. (Ed.), Laterization processes", Geological Survey of India, Memoir 120 (1986) I1-I7.
- [16] Maksimovic Z., Panto G.Y., "Contribution to the geochemistry of the rare earth elements in the karst-bauxite deposits of Yugoslavia and Greece", Geoderma 51 (1991) 93-109.

- and trace element abundances, and Sr isotopes in the Nyong basin rivers (Cameroon): constraints on chemical weathering processes and elements transport mechanisms in humid tropical environments", Chemical Geology 169 (2000) 211-241.*
- [38] Brookins D.G., "Eh-pH diagrams of REE at 25°C and one bar pressure", *Geochemical Journal* 17 (1983) 223–229.
- [39] Koppi A.J., Edis R., Foeld D.J., Geering H.R., Klessa D.A., Cockayne D.J.H., "REEs trends and Ce-U-Mn associations in weathered rock from Koongarra, northern territory, Australia", *Geochimica et Cosmochimica Acta* 60 (1996) 1695-1707.
- [40] Yan X., Kerrich R., Hendry M.J., "Distribution of the REEs in porewaters from a clay-rich aquitard sequence, Saskatchewan, Canada", *Chemical Geology* 176 (2001) 151-172.
- [41] Condé K., "Another look at REEs in shales", *Geochimica et Cosmochimica Acta* 55 (1991) 2527-2531.
- [42] Duddy L.R., "Redistribution and fractionation of REEs and other elements in a weathering profile", *Chemical Geology* 30 (1980) 363-381.
- [43] Banfield J.F., Eggleton R.A., "Apatite replacement and REE mobilization, fractionation, and fixation during weathering", *Clays and Clay Minerals* 37 (1989) 113-127.
- [44] Rankin P.C., Childs C.W., "REEs in Fe-Mn concretions from some New Zealand soils", *Chemical Geology* 18 (1976) 55-64.
- [45] Pokrovsky O.S., Schott J., Dupré B., "Trace element fractionation and transport in boreal rivers and soil porewaters of permafrost-dominated basaltic terrain in Central Siberia", *Geochimica et Cosmochimica Acta* 70 (2006) 3239-3260.
- [46] Kuhnel R.A., "The role of cationic and anionic scavengers in laterites", *Chemical Geology* 60 (1987) 31-40.
- [47] Coppin F., Berger G., Castet S., Loubet M., "Sorption of lanthanides on smectite and kaolinite", *Chemical Geology* 182 (2002) 57-68.
- [28] Harnois L., "The CIW index: a new chemical index of weathering", *Sedimentary Geology* 55 (1988) 319-322.
- [29] Nesbitt H.W., Wilson R.E., "Recent chemical weathering basalts", *American Journal of Earth Science* 292 (1992) 740-777.
- [30] Patino L.C., Velbel M.A., Price J.R., Wade J.A., "Element redistribution during weathering of volcanic rocks in sedimentary landscapes", *Geochimica et Cosmochimica Acta* 69 (2005) A683.
- [31] Brimhall G.H., Lewis C.J., Ford C., Bratt J., Taylor G., Warin O., "Quantitative geochemical approach to petrogenesis: importance of parent material reduction, volumetric expansion, and eolian influx in laterization", *Geoderma* 51 (1991) 51-91.
- [32] Nahon D., Merino E., "Pseudomorphic replacement versus dilation in laterites: petrographic evidence, mechanisms, and consequences for modeling", *J. of Geochemical Exploration* 57 (1996) 217-225.
- [33] Braun J.J., Pagel M., Herbillon A., Rosin C., "Mobilization and redistribution of REEs and Th in a syenitic lateritic profile- a mass balance study", *Geochimica et Cosmochimica Acta* 57 (1993) 4419-4434.
- [34] Dupré B., Vires J., Dandurand J.L., Polve M., Benezech P., Vervier P., Braun J.J., "Major and trace elements associated with colloids in organic-rich river waters: ultrafiltration of natural and spiked solutions", *Chemical Geology* 160 (1999) 63-80.
- [35] Oliva P., Vires J., Dupré B., Fortune J.P., Martin F., Braun J.J., Nahon D., Robain H., "The effect of organic matter on chemical weathering: study of a small tropical watershed: Nsimi-Zoetele site, Cameroon", *Geochimica et Cosmochimica Acta* 63 (1999) 4013-4035.
- [36] Braun J.J., Ngoupayou J.R.N., Vires J., Dupré B., Bedimo J.P.B., Boeglin J.L., Robain H., Nyeck B., Freydier R., Nkamdjou L.S., Rouiller J., Muller J.P., "Present weathering rates in a humid tropical watershed: Nsimi, South Cameroon", *Geochimica et Cosmochimica Acta* 69 (2005) 357-387.
- [37] Vires J., Dupré B., Braun J.J., Deberdt S., Angeletti B., Ngoupayou J.N., Michard A., "Major